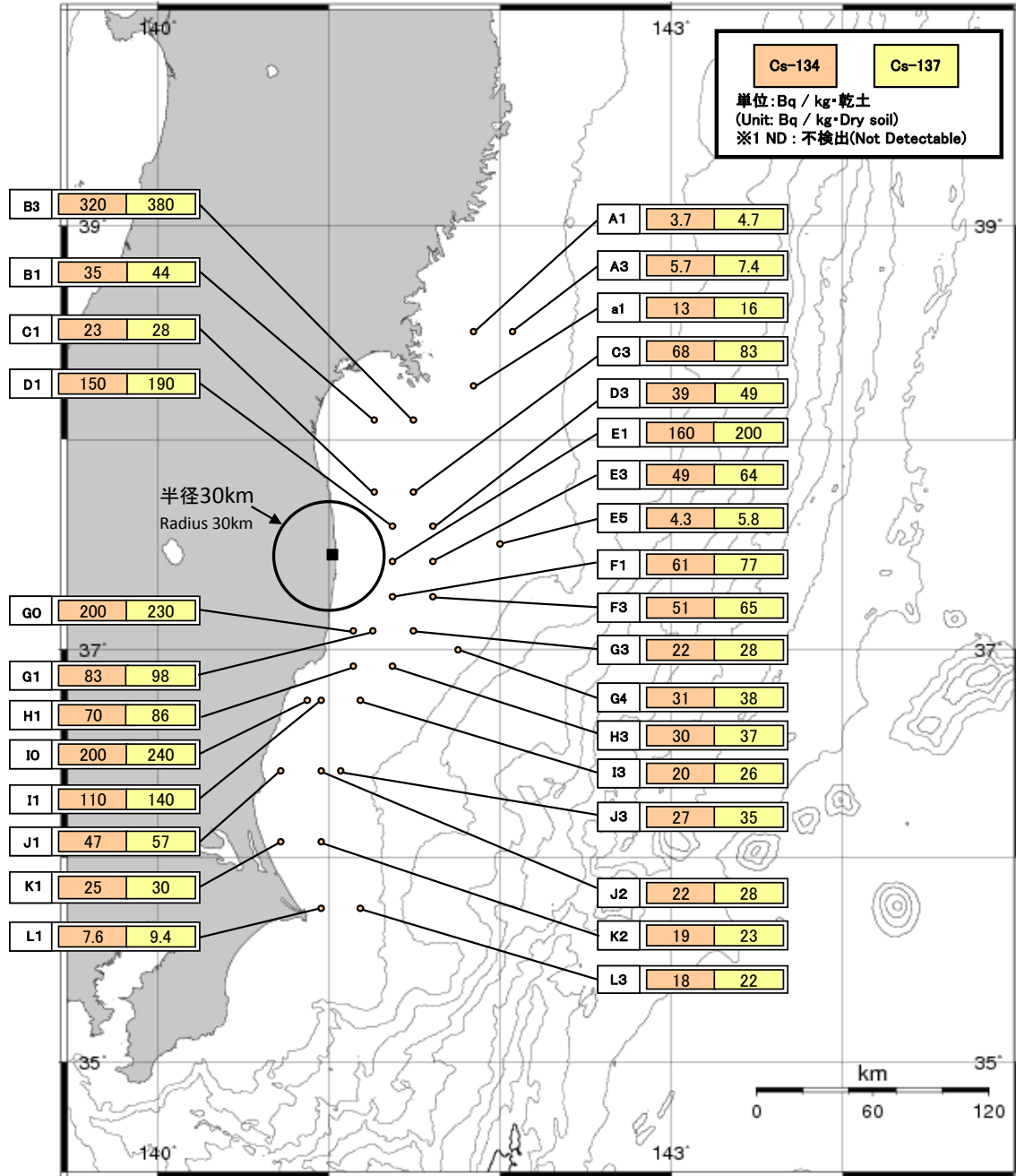


**海域モニタリング結果**  
**Readings of Sea Area Monitoring**  
**海底土のCs-134及びCs-137の放射能濃度分布**  
**Distribution map of radioactivity concentration of Cs-134 and Cs-137 in marine soil**

公表日：平成23年11月25日  
 (Published: Nov 25, 2011)  
 試料採取日：平成23年10月13日～26日  
 (Sampling Date: Oct 13, 2011 - Oct 26, 2011)



図中の■は東京電力(株)福島第一原子力発電所を示す  
 独立行政法人日本原子力研究開発機構が分析。  
 Analysed by Japan Atomic Energy Agency(JAEA).

## 宮城県・福島県・茨城県沖における海域モニタリング(海底土)結果

Readings of Sea Area Monitoring at offshore of Miyagi, Fukushima and Ibaraki Prefecture -marine soil-

平成23年11月25日

Nov 25, 2011

文 部 科 学 省

Ministry of Education, Culture, Sports, Science and  
Technology (MEXT)

### 海底土の放射能濃度

Radioactivity concentration in marine soil

測定試料 採取点※1 Sampling Point※1	採水日時 Sampling Time and Date	緯度, 経度 Latitude, Longitude	深度 Depth	放射能濃度(Bq / kg・乾土) Radioactivity Concentration(Bq / kg・Dry Soil)		
				Cs-134	Cs-137	その他検出された核種 Other detected nuclides
【A1】	2011/10/17 14:55	38° 29.9' N, 141° 51.2' E	209m	3.7	4.7	
【A3】	2011/10/17 8:16	38° 30.0' N, 142° 04.9' E	483m	5.7	7.4	
【a1】	2011/10/17 17:31	38° 15.0' N, 141° 51.0' E	214m	13	16	
【B1】	2011/10/18 10:16	38° 05.1' N, 141° 15.5' E	45m	35	44	
【B3】	2011/10/18 8:02	38° 05.0' N, 141° 29.2' E	118m	320	380	
【C1】	2011/10/19 7:46	37° 45.0' N, 141° 15.4' E	56m	23	28	
【C3】	2011/10/18 16:39	38° 44.9' N, 141° 29.4' E	133m	68	83	
【D1】	2011/10/19 10:03	37° 35.0' N, 141° 22.4' E	124m	150	190	Ag-110m: 1.2
【D3】	2011/10/19 12:44	37° 34.9' N, 141° 36.4' E	224m	39	49	
【E1】	2011/10/22 10:53	37° 25.0' N, 141° 22.9' E	135m	160	200	Ag-110m: 3.2 Te-129: 26 Te-129m: 33 Sn-113: 1.6
【E3】	2011/10/22 13:08	37° 25.0' N, 141° 36.4' E	232m	49	64	
【E5】	2011/10/19 15:54	37° 30.0' N, 142° 00.0' E	533m	4.3	5.8	
【F1】	2011/10/23 8:29	37° 14.9' N, 141° 22.4' E	142m	61	77	Ag-110m: 0.67 Te-129: 7.1
【F3】	2011/10/22 15:33	37° 15.0' N, 141° 36.4' E	236m	51	65	
【GO】	2011/10/23 13:47	37° 04.9' N, 141° 08.4' E	107m	200	230	Ag-110m: 0.73
【G1】	2011/10/23 12:20	37° 05.0' N, 141° 15.5' E	141m	83	98	Ag-110m: 0.84 Te-129: 9.6
【G3】	2011/10/24 12:49	37° 04.9' N, 141° 29.3' E	210m	22	28	
【G4】	2011/10/24 8:34	37° 00.0' N, 141° 45.1' E	664m	31	38	
【H1】	2011/10/23 15:32	36° 54.9' N, 141° 08.4' E	134m	70	86	Ag-110m: 0.51
【H3】	2011/10/24 14:52	36° 55.0' N, 141° 22.3' E	232m	30	37	Ag-110m: 0.39
【IO】	2011/10/25 10:52	36° 44.9' N, 140° 53.0' E	73m	200	240	Ag-110m: 2.3 Sb-125: 3.5
【I1】	2011/10/25 9:38	36° 44.9' N, 140° 57.0' E	99m	110	140	Ag-110m: 1.3
【I3】	2011/10/25 7:48	36° 44.9' N, 141° 11.0' E	184m	20	26	
【J1】	2011/10/26 8:00	36° 25.1' N, 140° 43.0' E	49m	47	57	
【J2】	2011/10/26 12:00	36° 24.9' N, 140° 57.0' E	291m	22	28	
【J3】	2011/10/25 14:49	36° 24.9' N, 141° 03.9' E	570m	27	35	
【K1】	2011/10/14 8:11	36° 04.0' N, 140° 43.1' E	32m	25	30	
【K2】	2011/10/13 16:52	36° 04.7' N, 140° 57.0' E	215m	19	23	
【L1】	2011/10/13 13:07	35° 45.1' N, 140° 57.1' E	45m	7.6	9.4	
【L3】	2011/10/13 8:16	35° 44.9' N, 141° 11.0' E	171m	18	22	Ag-110m: 4.9

独立行政法人日本原子力研究開発機構が分析。  
Analysed by Japan Atomic Energy Agency(JAEA).

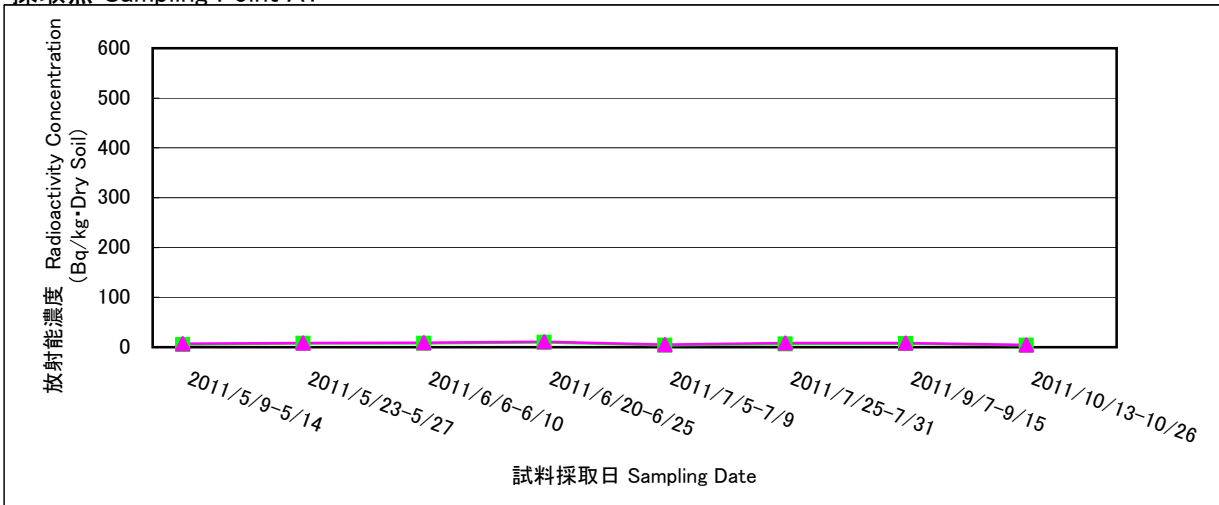
※1 【 】内の番号は、図の測点番号に対応。

※1 The character enclosed in parentheses (Ex. 【A1】) indicates monitoring point in figure.

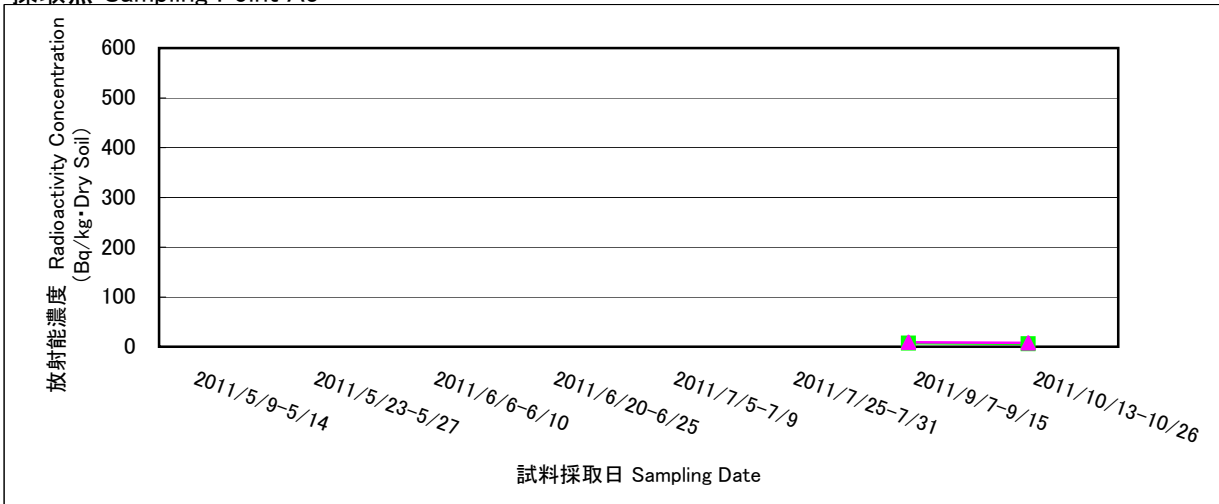
## 海底土のCs-134及びCs-137の放射能濃度の傾向

Trends of radioactivity concentration of Cs-134 and Cs-137 in marine soil

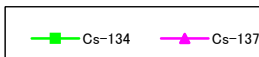
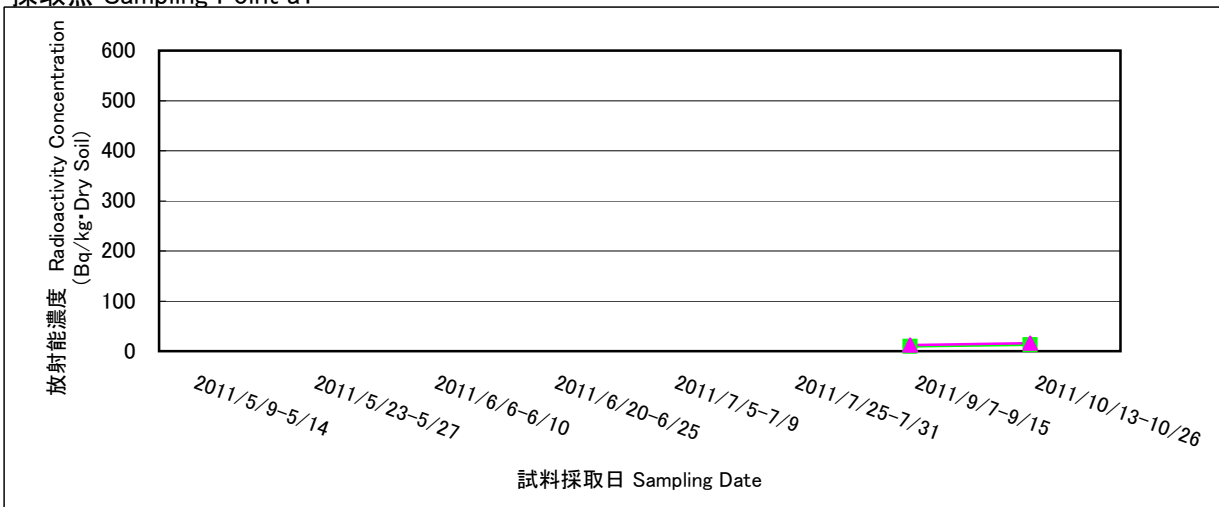
採取点 Sampling Point A1



採取点 Sampling Point A3



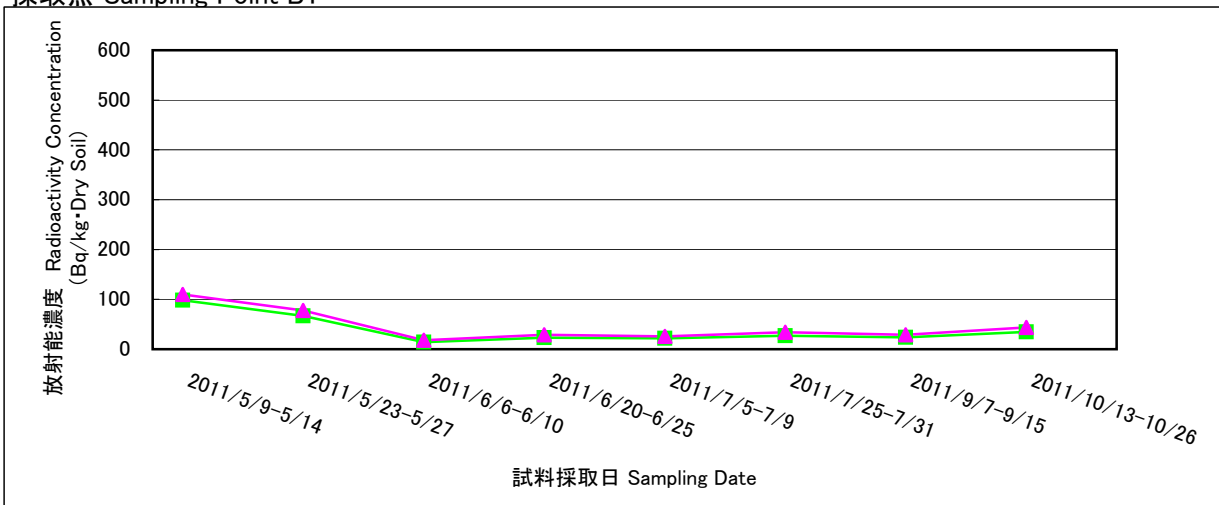
採取点 Sampling Point a1



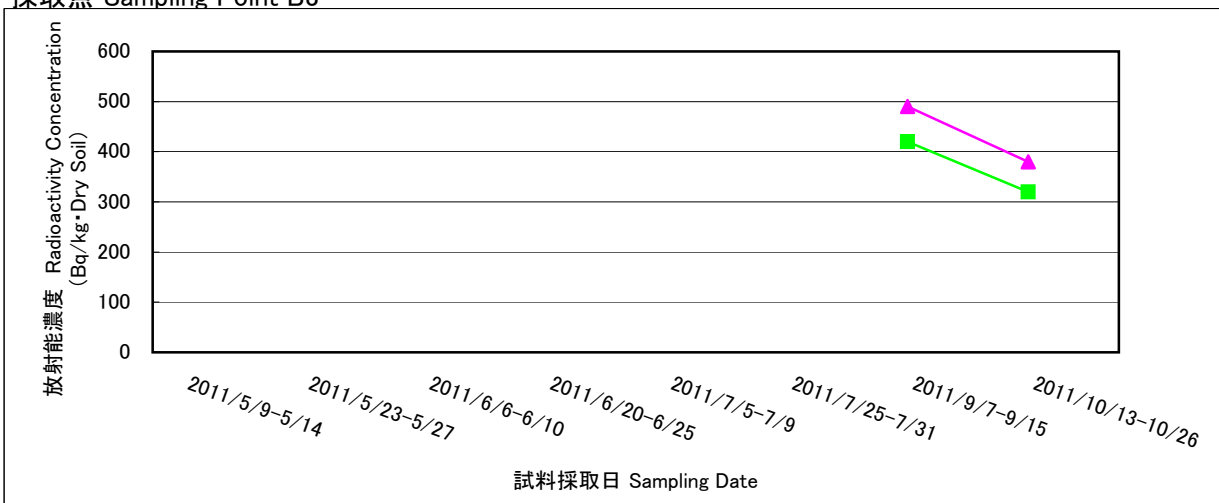
## 海底土のCs-134及びCs-137の放射能濃度の傾向

Trends of radioactivity concentration of Cs-134 and Cs-137 in marine soil

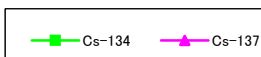
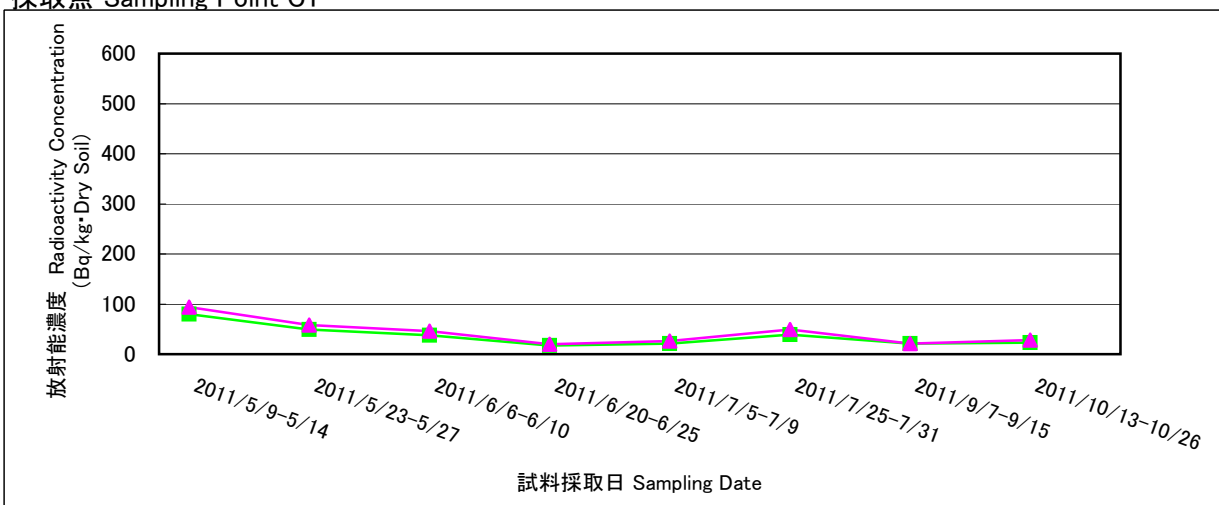
採取点 Sampling Point B1



採取点 Sampling Point B3

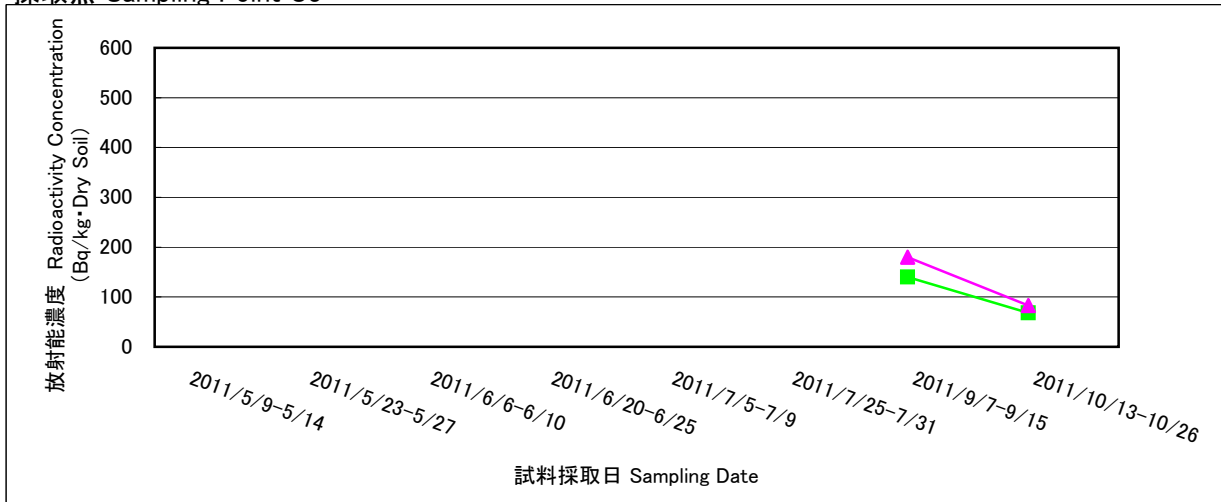


採取点 Sampling Point C1

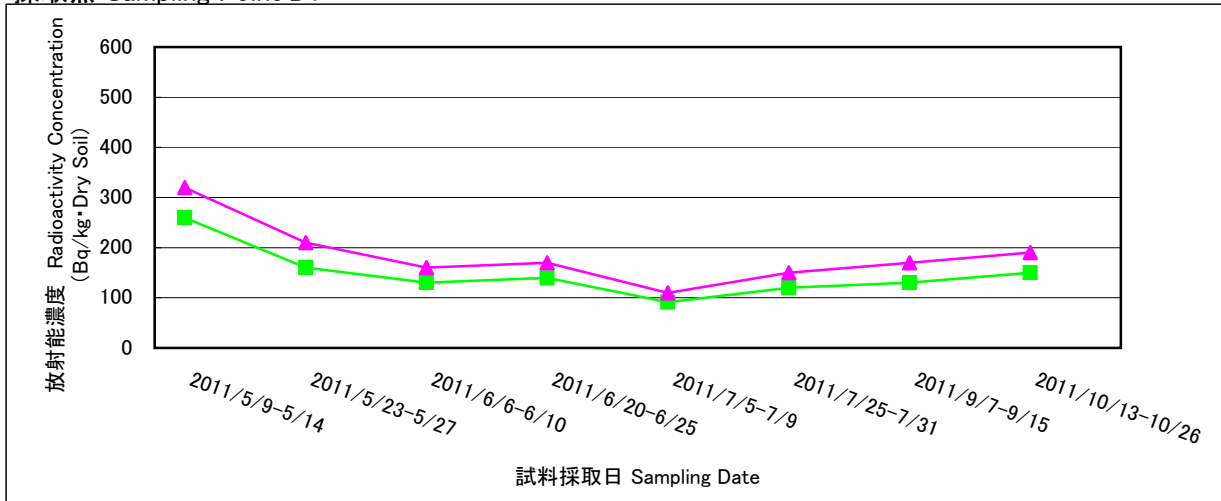


## 海底土のCs-134及びCs-137の放射能濃度の傾向 Trends of radioactivity concentration of Cs-134 and Cs-137 in marine soil

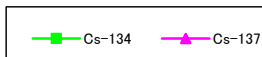
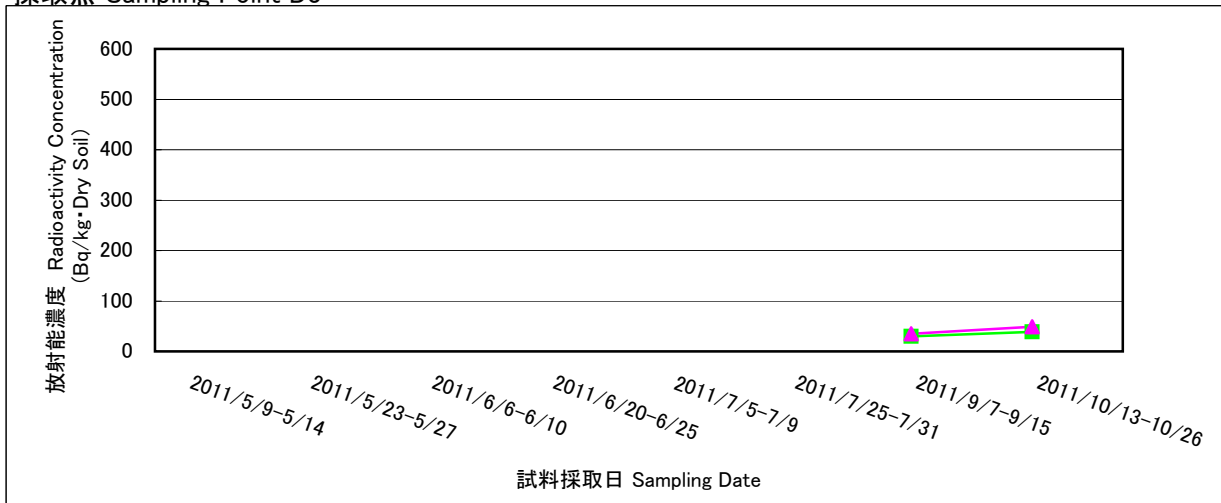
採取点 Sampling Point C3



採取点 Sampling Point D1



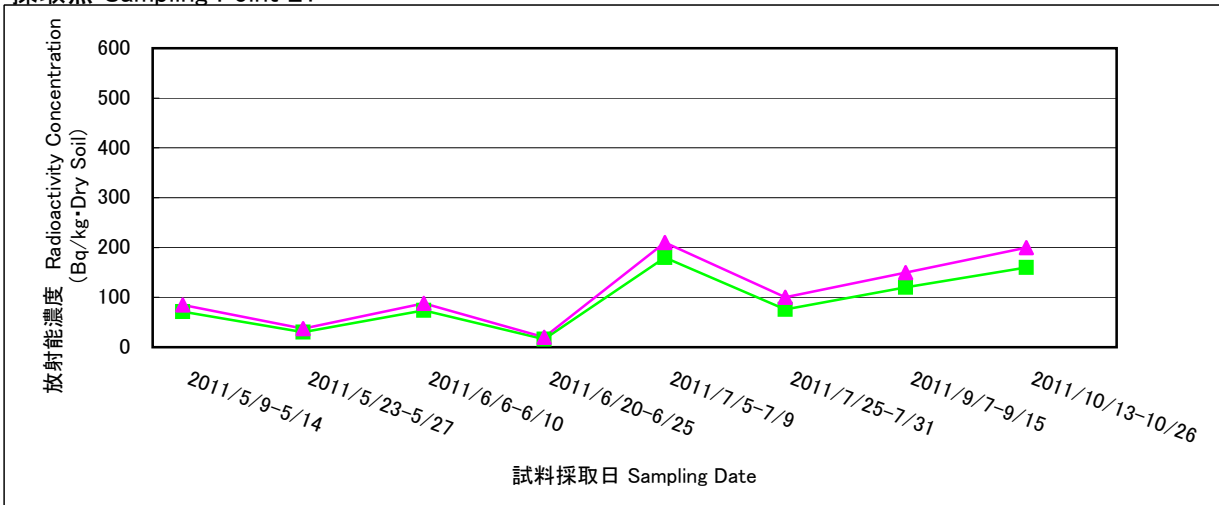
採取点 Sampling Point D3



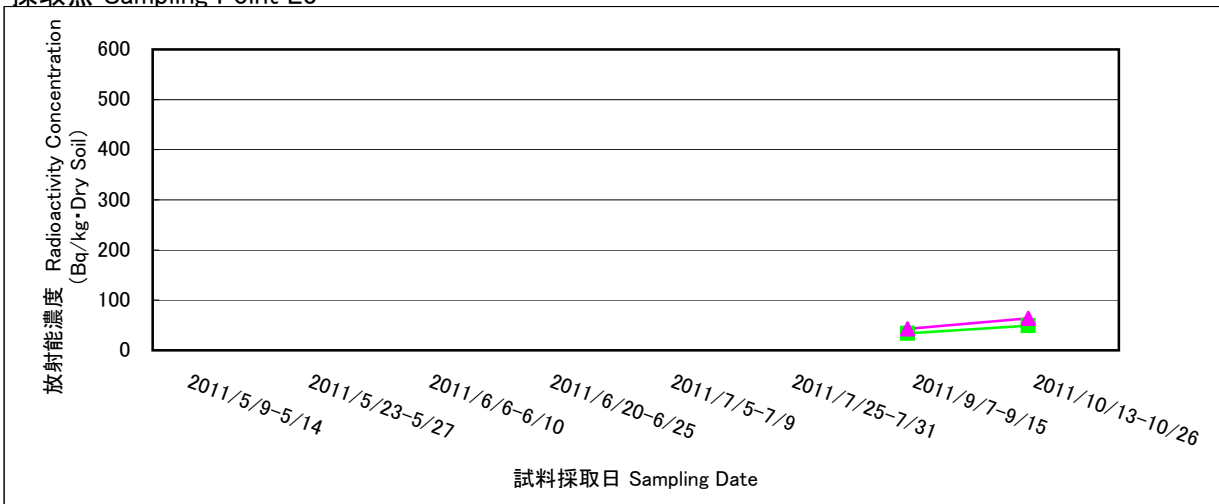
## 海底土のCs-134及びCs-137の放射能濃度の傾向

Trends of radioactivity concentration of Cs-134 and Cs-137 in marine soil

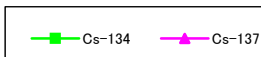
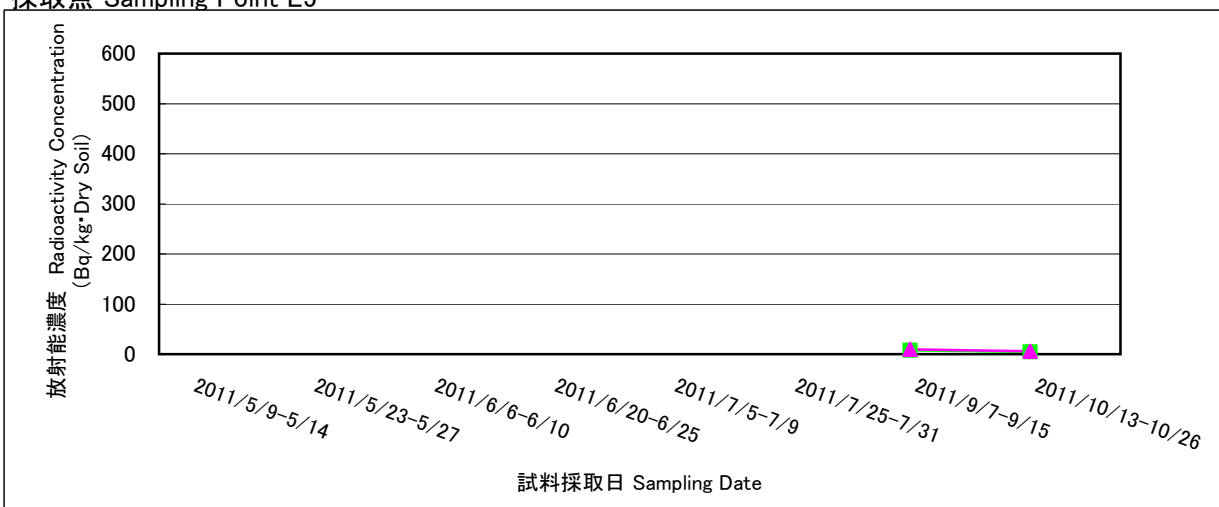
採取点 Sampling Point E1



採取点 Sampling Point E3



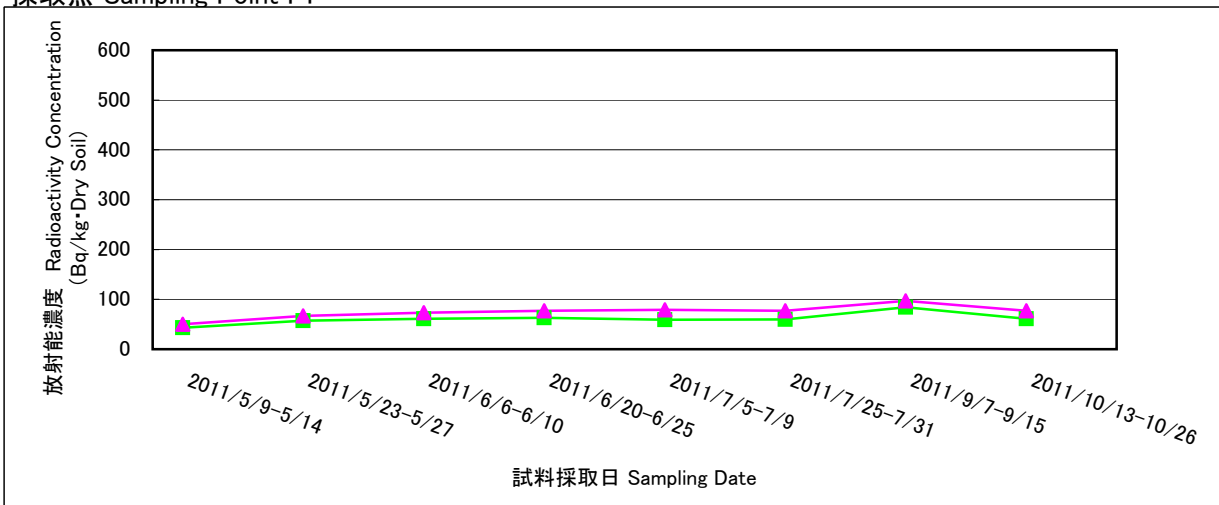
採取点 Sampling Point E5



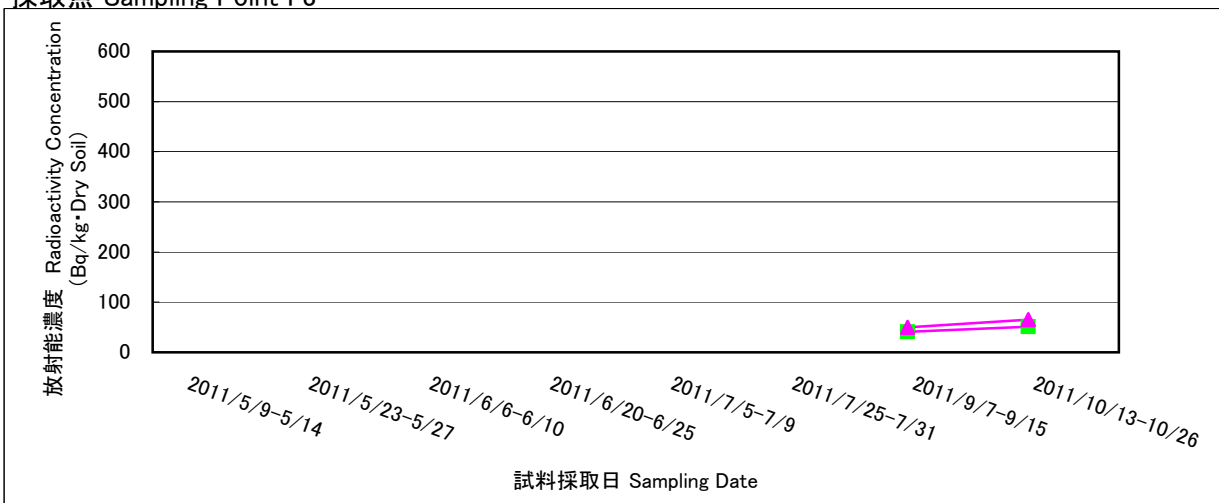
## 海底土のCs-134及びCs-137の放射能濃度の傾向

Trends of radioactivity concentration of Cs-134 and Cs-137 in marine soil

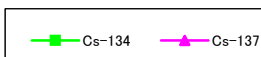
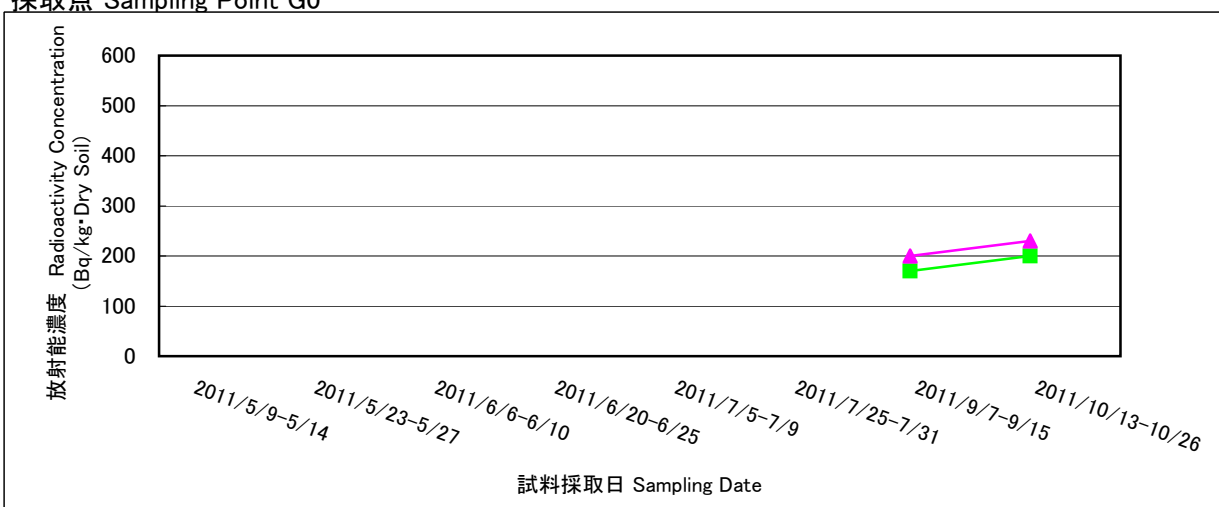
採取点 Sampling Point F1



採取点 Sampling Point F3



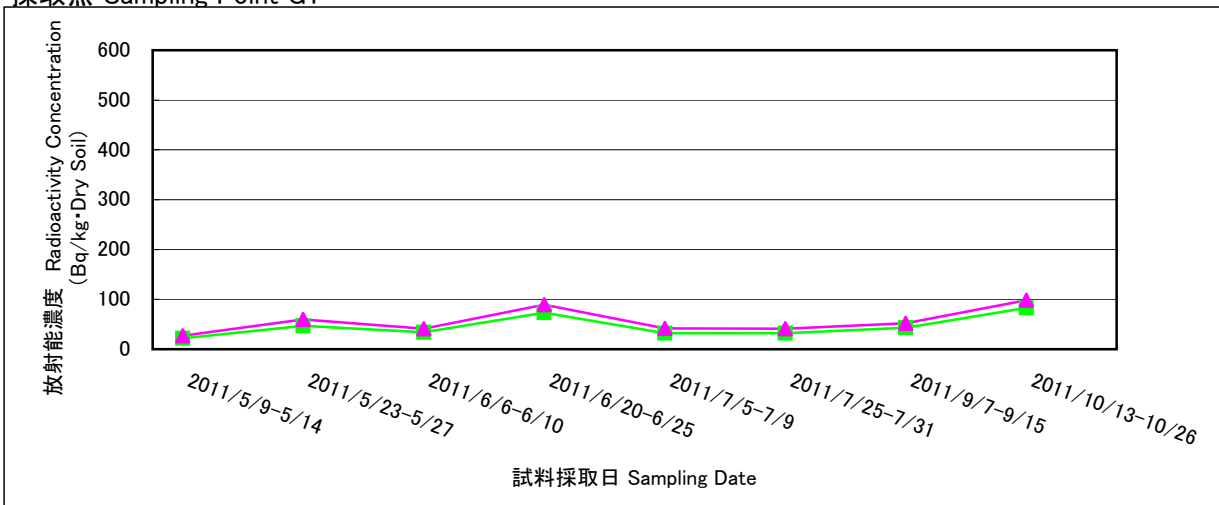
採取点 Sampling Point G0



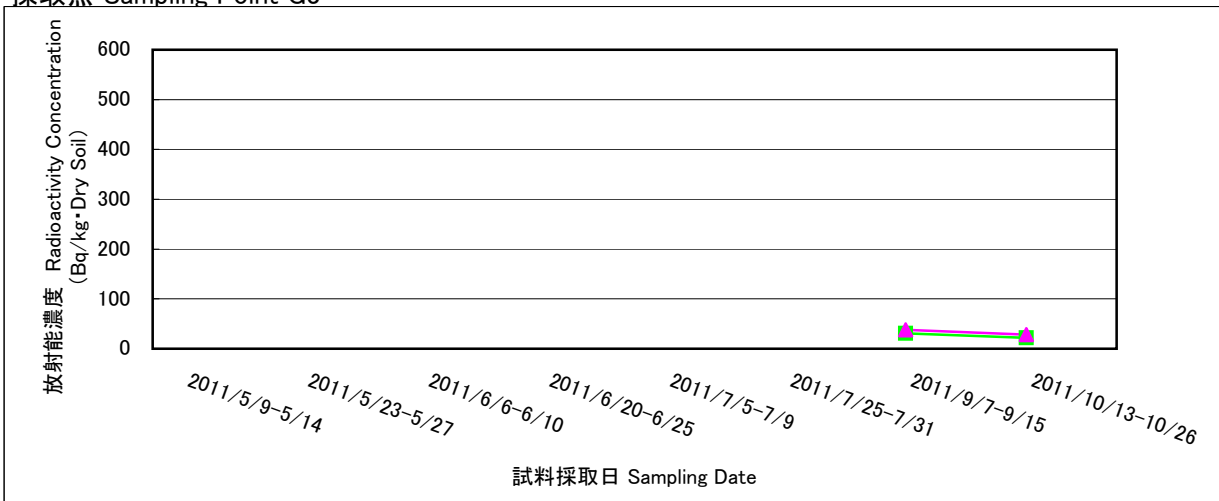
## 海底土のCs-134及びCs-137の放射能濃度の傾向

Trends of radioactivity concentration of Cs-134 and Cs-137 in marine soil

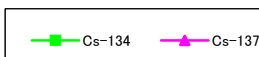
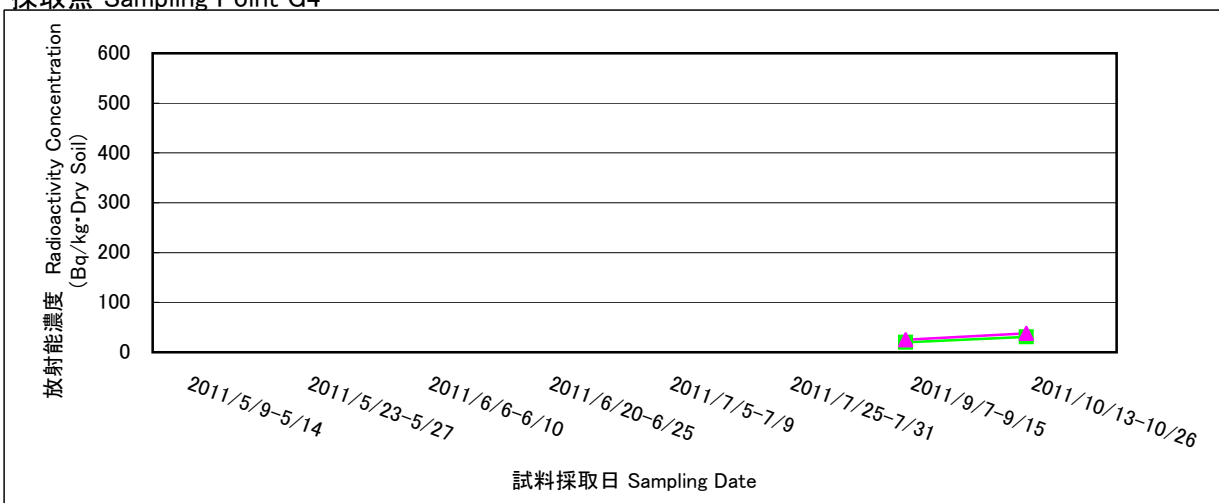
採取点 Sampling Point G1



採取点 Sampling Point G3



採取点 Sampling Point G4

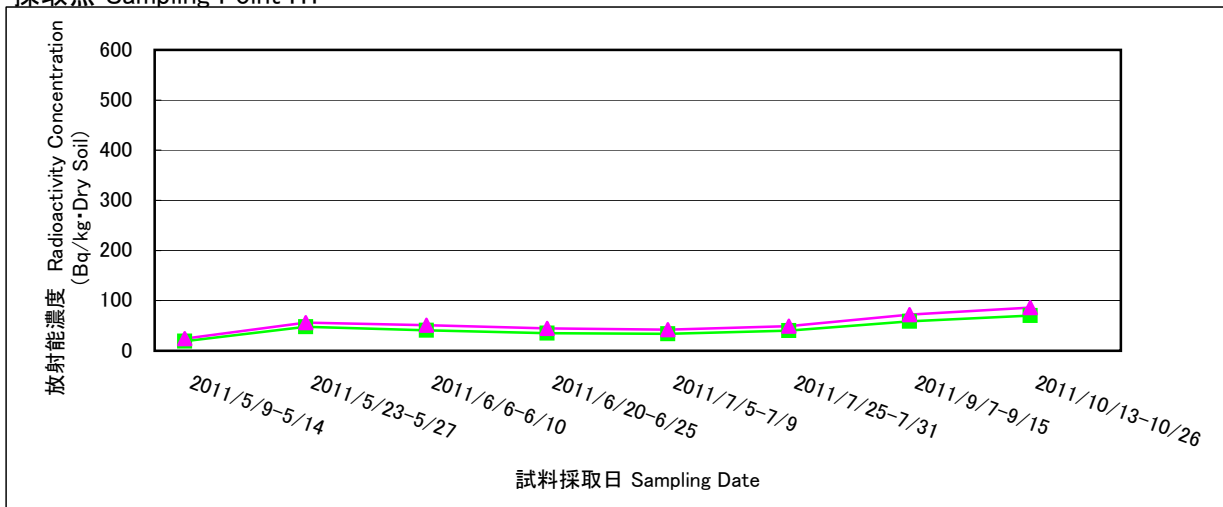




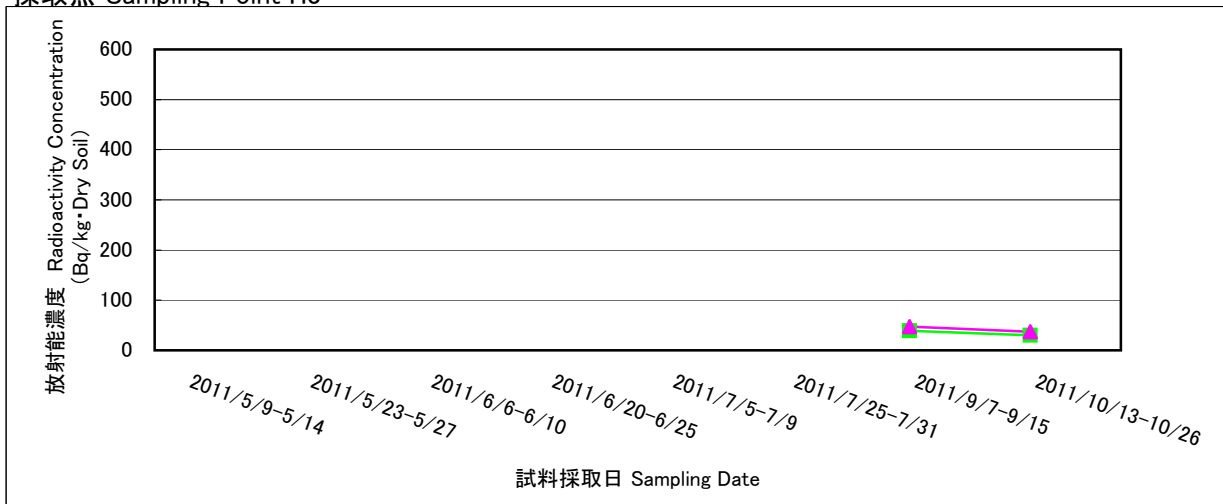
## 海底土のCs-134及びCs-137の放射能濃度の傾向

Trends of radioactivity concentration of Cs-134 and Cs-137 in marine soil

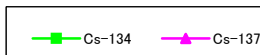
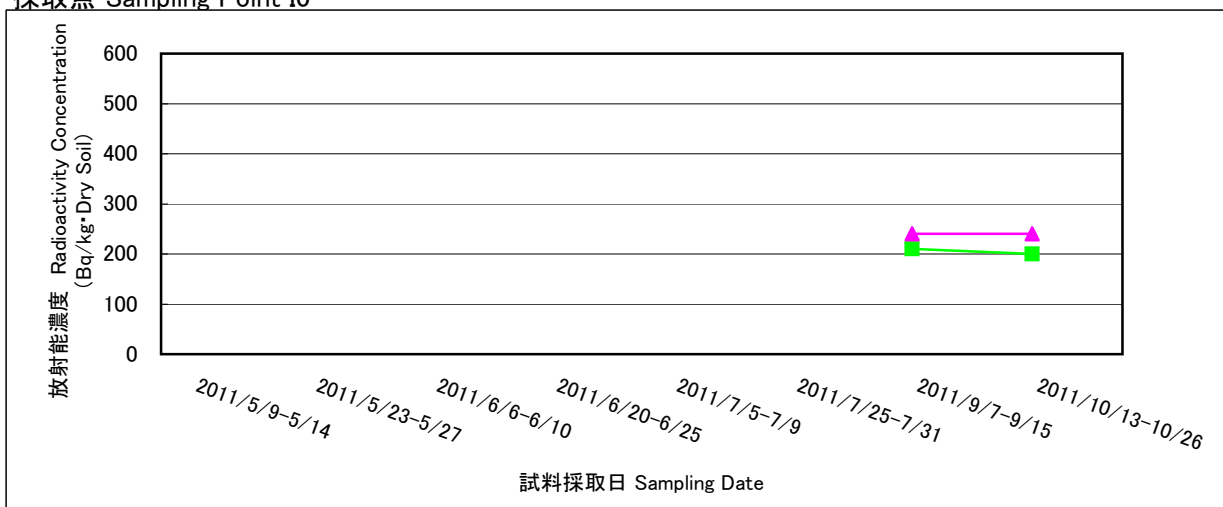
採取点 Sampling Point H1



採取点 Sampling Point H3



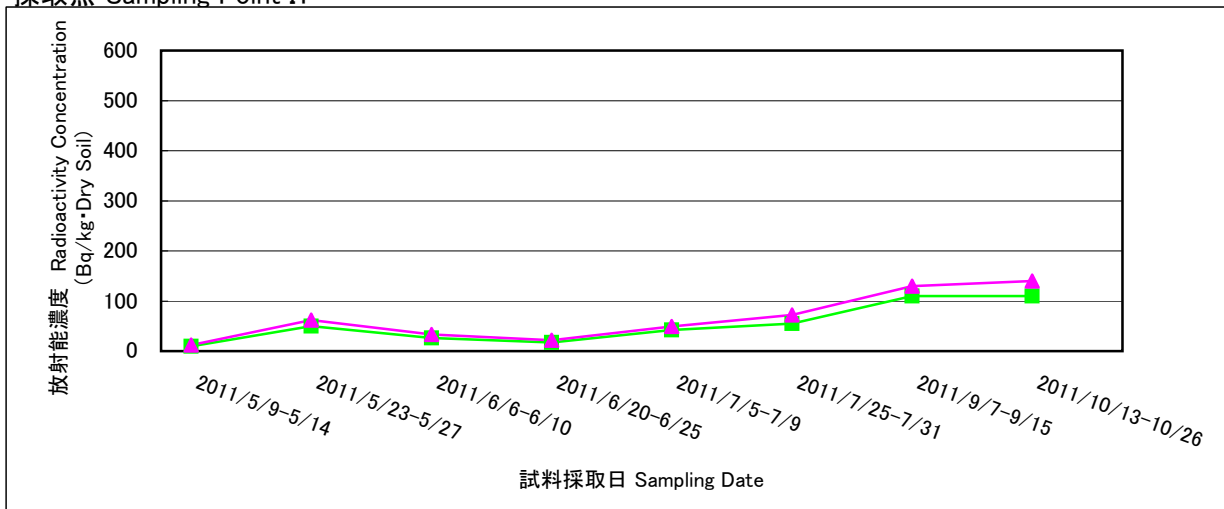
採取点 Sampling Point I0



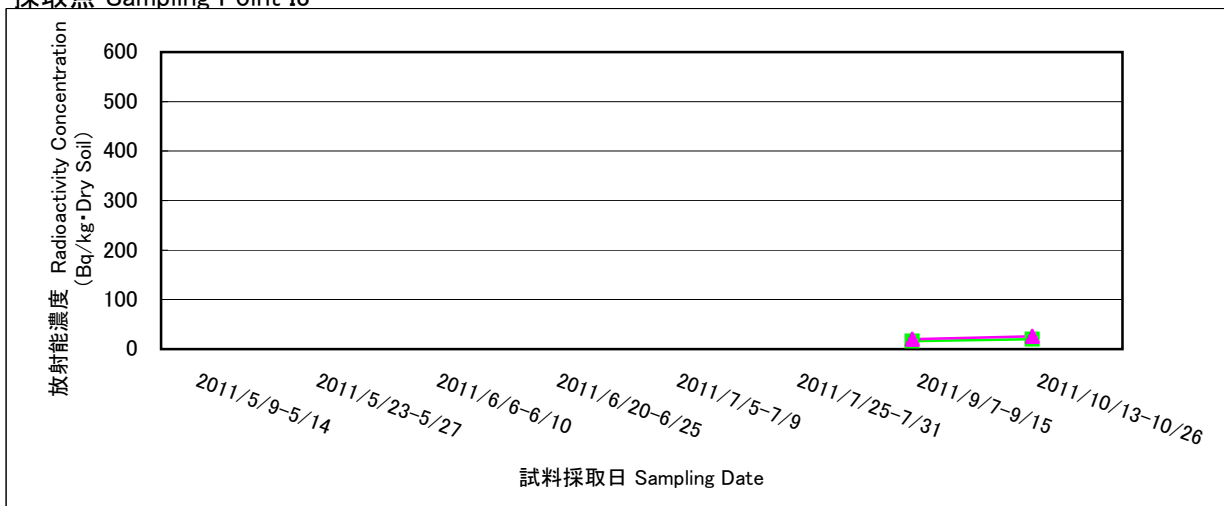
## 海底土のCs-134及びCs-137の放射能濃度の傾向

Trends of radioactivity concentration of Cs-134 and Cs-137 in marine soil

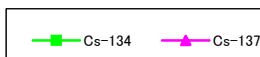
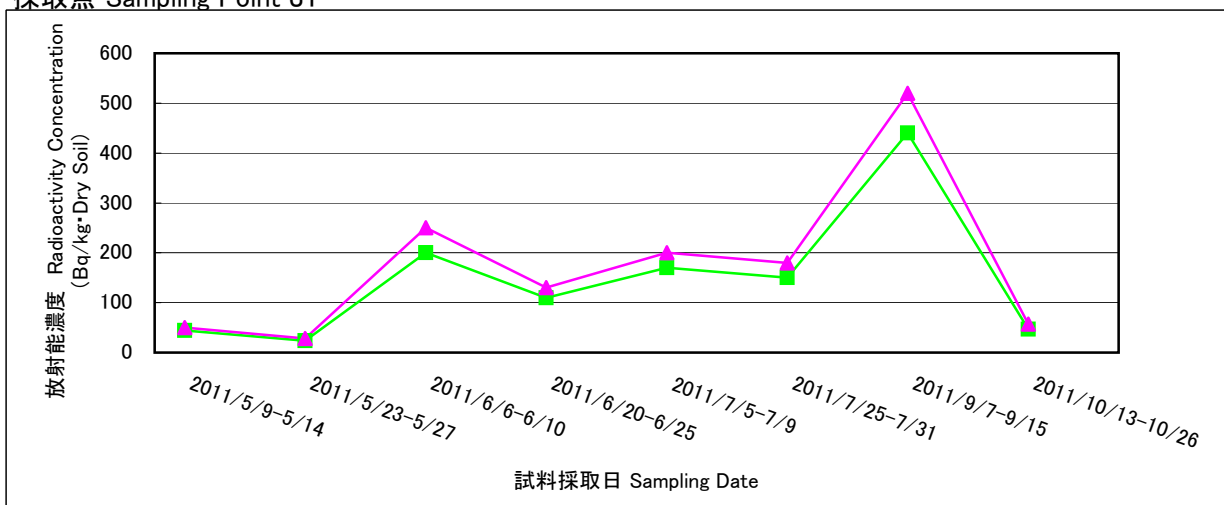
採取点 Sampling Point I1



採取点 Sampling Point I3



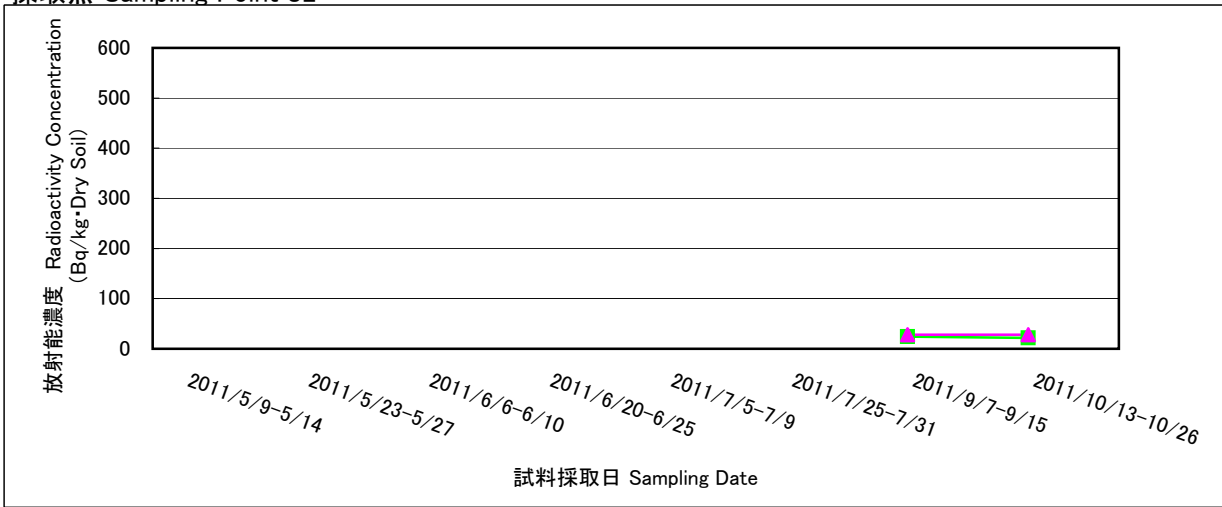
採取点 Sampling Point J1



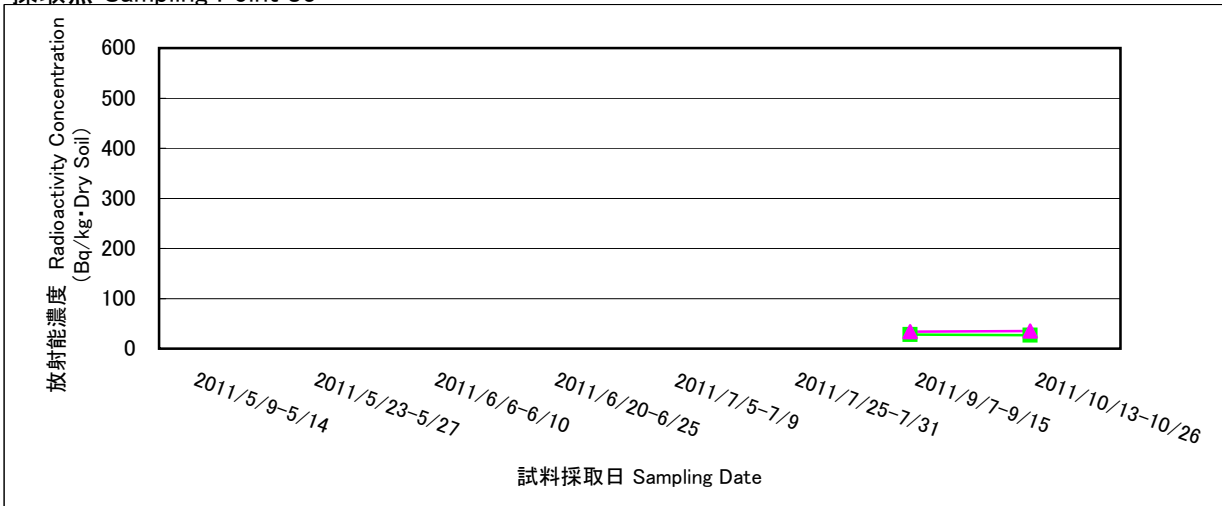
## 海底土のCs-134及びCs-137の放射能濃度の傾向

Trends of radioactivity concentration of Cs-134 and Cs-137 in marine soil

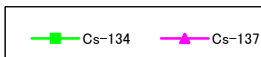
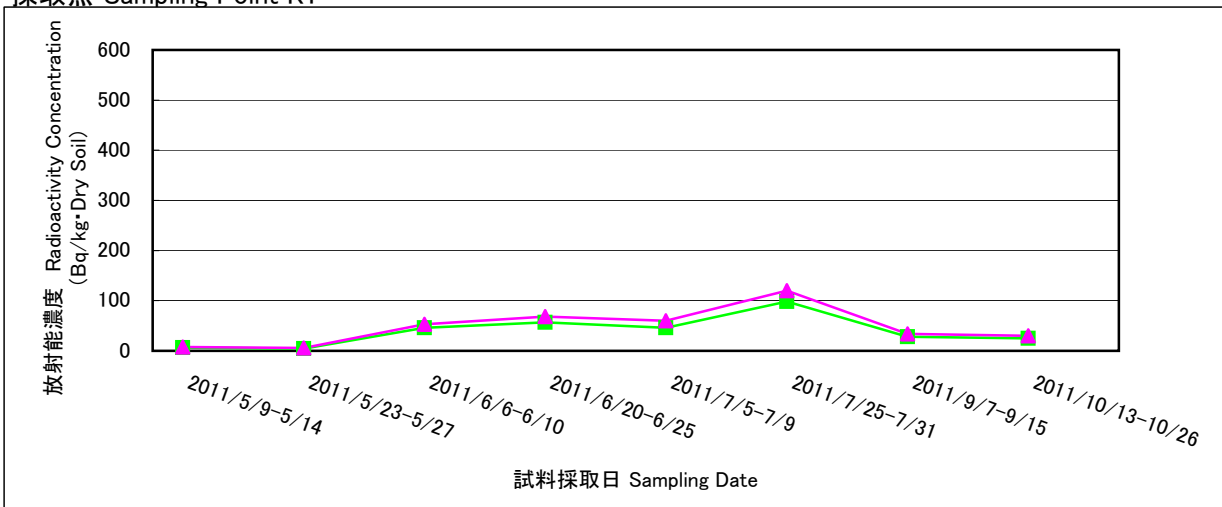
採取点 Sampling Point J2



採取点 Sampling Point J3



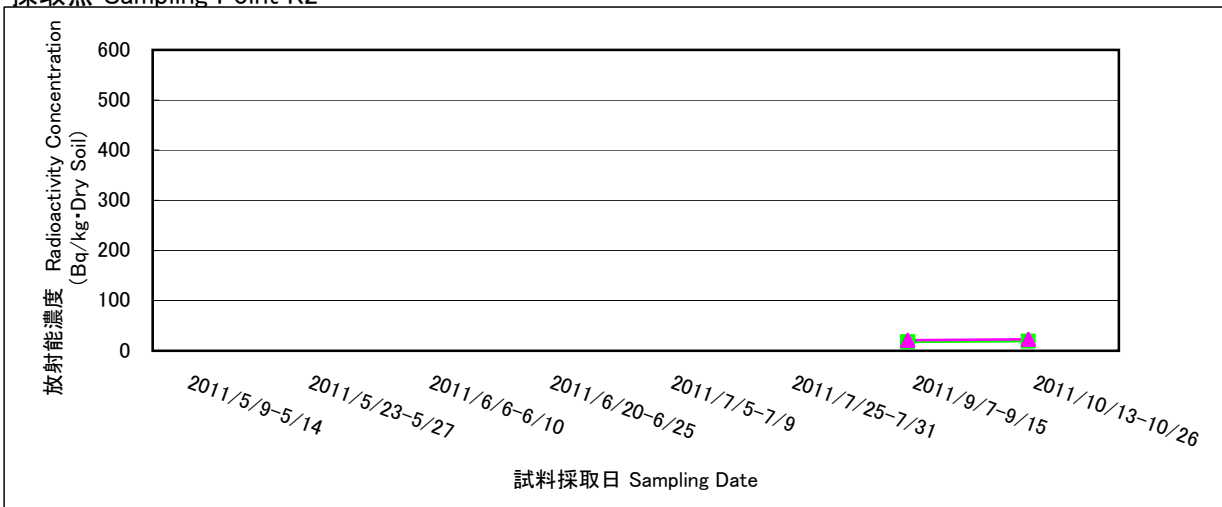
採取点 Sampling Point K1



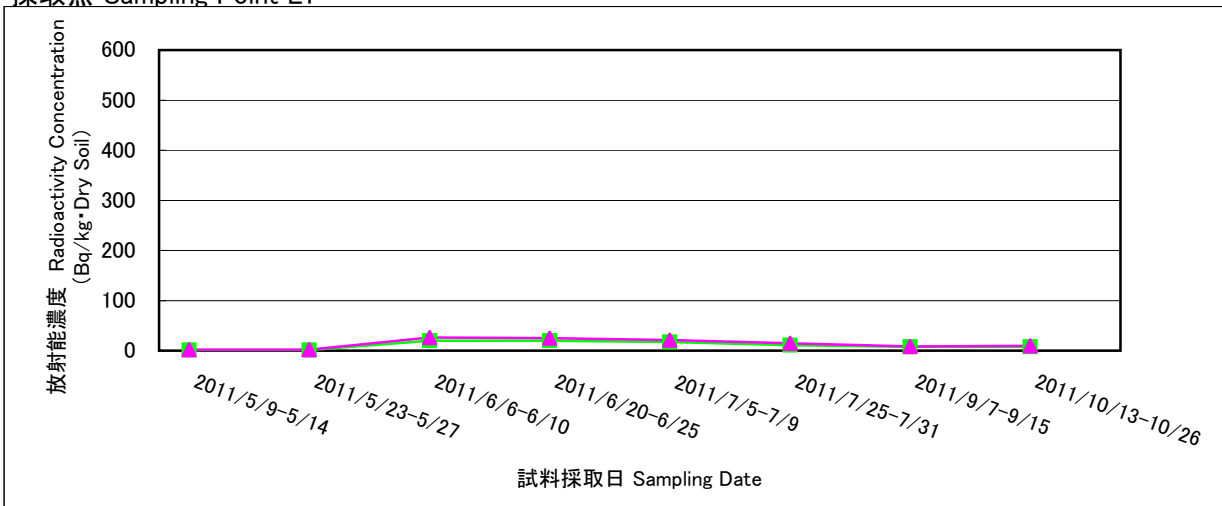
## 海底土のCs-134及びCs-137の放射能濃度の傾向

Trends of radioactivity concentration of Cs-134 and Cs-137 in marine soil

採取点 Sampling Point K2



採取点 Sampling Point L1



採取点 Sampling Point L3

